

تأثير النقاطات على الضياعات الهيدروليكية في أنابيب الري بالتنقيط

الدكتور المهندس أمين سليمان*

الدكتور المهندس أمجد شاكر**

الملخص

اتبع في هذا البحث طريقة تجريبية تحليلية جديدة لتحديد الضياعات الهيدروليكية الناجمة عن تركيب النقاطات، وذلك بقياس الفرق بين الضياعات في الأنابيب دون نقاطات والضياعات في الأنابيب مع النقاطات مسدودة من أجل سرع مختلفة للجريان. دُرست تسعة أنواع من النقاطات محلية الصنع ومستوردة، واستنتجت المنحنيات المميزة لها، وتبين أنها على ثلاثة أنواع عادية، ومنظم للتصريف، وغاسلة ومنظمة للتصريف. كما استُخدمت ثلاثة أنواع من أنابيب البولي إيثيلين أقطارها الاسمية 16 و18 و22mm.

تم التوصل بتحليل النتائج إلى علاقات الضياعات الهيدروليكية مع السرعة، وباستخدام هذه العلاقات أمكن تحديد الضياعات الناجمة عن تركيب النقاطات المختلفة وعلى الأنابيب المختلفة أيضاً، ومن ملاحظة قيم الضياعات الناجمة عن تركيب النقاطات، تبين أن قيم هذه الضياعات تختلف بين نقطة وأخرى على الرغم من أن جميع النقاطات من نوع on-line تصنف على أنها قياسية، وتتعلق أيضاً بقطر الأنبوب المثبتة عليه. وقد تراوح الطول المكافئ للضياع الناجم عن تركيب النقاطات المختلفة على الأنابيب المختلفة بين 10 و40Cm. وتشكل هذه الضياعات من الضياعات الكلية نسبة لا يستهان بها، تراوحت بين 21% و50%، وتختلف هذه النسبة باختلاف نوع النقطة و قطر الأنبوب.

الكلمات المفتاحية: النقطة، الضياع الهيدروليكي، الري بالتنقيط، المنحنيات المميزة للنقاطات، أنابيب الري بالتنقيط، الوحدة الفرعية.

*أستاذ في قسم هندسة وإدارة الموارد المائية - كلية الهندسة المدنية - جامعة البعث

**مدرس في قسم هندسة وإدارة الموارد المائية - كلية الهندسة المدنية - جامعة البعث

1 - مقدمة:

التغير المصنعي (Cv)، فإن علاقة التغير المسموح في الضاغط في الوحدة الفرعية تكتب على النحو الآتي [2،3،4]:

$$\Delta H_{sub} \leq 2.5H_a \left[1 - \left(\frac{Cu}{1 - 1.27CvS} \right)^{1/X} \right] \quad (2)$$

إذ:

X الأس في علاقة تصريف النقطة بدلالة الضاغط.

Cvs معامل الاختلاف المصنعي للنظام ويحسب بدلالة معامل التغير المصنعي للنقطة (Cv) وعدد النقاطات (Ne) حول كل نبات أو شجرة

$$Cvs = \frac{Cv}{\sqrt{Ne}}$$

$$h_f = \frac{f.L}{d} \cdot \frac{V^2}{2g} \quad (3)$$

يتوزع الضياع في الضاغط في الوحدة الفرعية بين الأنبوب الفرعي والأنبوب الجانبي، بحيث يكون 55% من الضياع في الأنبوب الجانبي و45% في الأنبوب الفرعي [2،6]. يشمل الضياع في الأنبوب الجانبي الضياع الناجم عن الاحتكاك (h_f) والضياع الناجم عن تركيب النقاطات (Le). تستخدم في شبكات الري بالتنقيط الأنابيب البلاستيكية المرنة من البولي إيثيلين (PE) ومن البلاستيك القاسي (PVC). وتستخدم أنابيب البولي إيثيلين (PE) للأنابيب الجانبية الحاملة للنقاطات بأقطار تتراوح بين 12 و 25mm. لتحديد الضاغط اللازم تأمينه في بداية الوحدة الفرعية ويُقدَّر الضياع في الضاغط نتيجة الاحتكاك في الأنابيب الجانبية والفرعية باستخدام علاقة دارسي ويسباخ التي

لها الشكل [1،10 7 2،3،5،6]:

إذ:

إن اعتماد طريقة الري بالتنقيط والتوسع في استخدامها يعدُّ من أهم الوسائل التي يجب إتباعها لترشيد استخدام المياه، نظراً إلى ما تتمتع به هذه الطريقة من كفاءة عالية تصل إلى 90%. ويجب الوقوف عند كل تفصيل في أثناء دراسة شبكات الري بالتنقيط وتصميمها لتحقيق الغاية المرجوة منها بالوصول إلى الكفاءة العالية والمردود الجيد مقارنة بطرق الري الأخرى. تتكون شبكة الري بالتنقيط على العموم من عدد من الوحدات الفرعية، والتي تتكون بدورها من الأنبوب الفرعي والأنابيب الجانبية التي تتفرع عنه. يتم التحكم في الضغط أو التصريف في بداية الوحدة الفرعية بواسطة منظم للضغط أو التصريف، ولتحقيق انتظام ري جيد في الوحدة الفرعية يجب ألا يتعدى الاختلاف بين أصغر وأكبر تصريف فيها 10% من التصريف الوسطي للنقطة [5 13 8 7]، أو لا يتعدى الفرق بين أقل تصريف (q_{min}) والتصريف المتوسط (q_a) للنقاطات حداً معيناً يتبع لدرجة التجانس في الري المرغوب فيها [2،3] وهذا يستدعي أن يكون الفرق في الضغط في الوحدة الفرعية أقل من قيمة معينة تتبع لمعامل انتظام الري المرغوب فيه. وينصح في أثناء التصميم أن يحقق التفاوت في الضاغط في الوحدة الفرعية العلاقة الآتية [3،2،9]:

$$\Delta H_{sub} \leq 2.5(H_a - H_n) \quad (1)$$

إذ:

H_a الضاغط المقابل للتصريف المتوسط للنقطة (q_a).

H_n الضاغط المقابل لأدنى تصريف للنقطة (q_n).

وإذا ما تم التعبير عن الفرق المسموح في الضاغط بدلالة التصريف المتوسط ومعامل الانتظام ومعامل

h_f الانخفاض الكلي في الضاغط الناجم عن الاحتكاك (m).
 L طول الأنبوب (m).
 d القطر الداخلي للأنبوب (m).

V سرعة الجريان في الأنبوب (m/sec).
 g تسارع الجاذبية الأرضية (m/sec).
 f معامل الاحتكاك الذي يمكن أن يحسب في حالة الجريان الصفحي عندما يكون رقم رينولد (Re) ($2000 \leq$ بالعلاقة:

$$f = \frac{64}{Re} \quad (4)$$

وإذا كان الجريان من النوع الانتقالي حيث $(2000 < Re < 4000)$ فإن معامل الاحتكاك (f) يحسب بالعلاقة [11,2]:

$$f = 3.42 Re^{0.85} \quad (5)$$

أما إذا كان الجريان من النوع الحرج في الأنابيب الملساء هيدروليكيًا ($4000 \leq Re \leq 100000$) فإن معامل الاحتكاك يحسب من العلاقة [6,2]:

$$f = 0.316 Re^{-0.25} \quad (6)$$

إلا إنه للسهولة يشيع استخدام علاقة هازن وليام التي لها الشكل [12 2,4]:

$$h_f = K.L \frac{(Q/Ch)^{1.852}}{d^{4.871}} \quad (7)$$

إذ: K معامل تحويل ويساوي (1.21×10^{10}) عندما يعبر

عن الحدود الأخرى في العلاقة السابقة، $[Q(l/sec), d(mm), L(m), h_f(m)]$

تأتي أهمية البحث من ضرورة تشغيل شبكات الري بالتنقيط بالشكل المناسب لتحقيق الغاية المرجوة منها بالتوفير في المياه المستخدمة في الري وزيادة الإنتاج. إذ إن تحديد الضياعات الناجمة عن تركيب النقاطات يساعد في التحديد الدقيق لفروق الضاغط في الوحدة الفرعية ومن ثم التجانس في الري الذي يؤدي بدوره

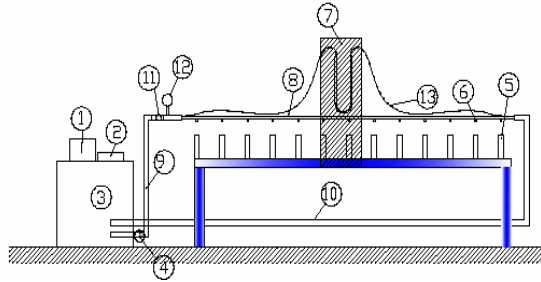
معامل هازن وليام ويتعلق بالمادة التي يصنع منها الأنبوب، ومن أجل الأنابيب البلاستيكية الصغيرة حتى (25mm) يأخذ قيمة مختلفة تبعاً لقطر الأنبوب. كما توجد مخططات نظمت على أساس علاقة هازن وليام مع فرض ($Ch = 150$) أو علاقة كالبروك وايت مع فرض خشونة للأنابيب البلاستيكية تعادل

تأثير النقاطات على الضياعات الهيدروليكية في أنابيب الري بالتنقيط



الشكل (1) جهاز اختبار النقاطات TDT

إن الفرق في قيم الضياعات الهيدروليكية بين الأنابيب مع النقاطات مسدودة والأنابيب دون نقاطات يعطي الضياعات الناجمة عن وجود النقاطات. وقياس الفرق بين الضياعات في الأنابيب والنقاطات مسدودة والأنابيب والنقاطات مفتوحة من أجل تصاريح مختلفة يعطي انخفاض الضياع في الضاغط نتيجة التصريف المتناقص بسبب تصاريح النقاطات المثبتة على الأنبوب.



الشكل (2) مخطط توضيحي لجهاز TDT: 1 - حاسب، 2 - طابعة، 3 - خزان ماء، 4 - مضخة، 5 - اسطوانة لجمع الماء، 6 - نقطة، 7 - مقياس ضغط زئبقي، 8 - أنبوب بولي إيثيلين، 9 - أنبوب ضخ معدني، 10 - أنبوب معدني عائد إلى الخزان، 11 - عداد ماء، 12 - مقياس ضغط أنيرود 13 - أنبوب ذو قطر صغير لوصل المانومتر.

4 - العلاقة بين الضاغط والتصريف للنقاطات المدروسة

للقوف على مواصفات النقاطات المستخدمة دُرستُ وحُدِّتْ المنحنيات المميزة لها (علاقة تصريف النقطة مع الضاغط)، وكانت النتائج كما في الجدول (1).

إلى زيادة الكفاءة والتوفير في استخدام المياه. وتتخلص أهداف هذا البحث بالآتي:

- دراسة تأثير بروز النقاطات على الضياعات الهيدروليكية في الأنابيب الجانبية في شبكة الري بالتنقيط.
- دراسة تأثير أقطار الأنابيب الجانبية المتوفرة في الضياعات الناجمة عن تركيب النقاطات.

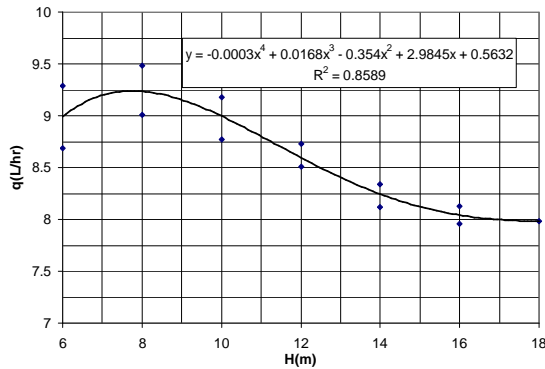
3 - طريقة التجربة والتجهيزات المستخدمة

أُجريت التجارب اللازمة وفقاً لخطة البحث الموضوعية باستخدام التجهيزات الآتية: جهاز TDT لاختبار النقاطات، وأنواع مختلفة من النقاطات تم الحصول عليها من السوق المحلية، ومانومتر زئبقي لقياس الفرق في الضاغط الناجم عن الاحتكاك وعن تركيب أنواع مختلفة من النقاطات، وأنابيب بولي إيثيلين ذات الأقطار القياسية المستخدمة في أنابيب التنقيط الجانبية، وعداد لقياس حجم الجريان في الأنابيب المدروسة، ومضخة بتصريف وضغط مناسبين، ميفاتية. ويبين الشكل (1) صورة عن وحدة التحكم والهيكل الرئيس لجهاز TDT لاختبار النقاطات في مخبر الري في كلية الهندسة المدنية في جامعة البعث، والشكل (2) مخطط توضيحي للجهاز.

تتلخص طريقة إجراء التجربة بقياس الضياع الهيدروليكي في أنابيب من البولي إيثيلين بأقطار قياسية 16mm و 18mm و 22mm دون وجود للنقاطات من أجل تصاريح مختلفة. ومن ثم تركيب نقاطات بأنواع مختلفة (استخدم في هذا البحث 9 أنواع من النقاطات محلية الصنع ومستوردة) وقياس الضياع الهيدروليكي مرةً والنقاطات مسدودة ومرةً أخرى والنقاطات مفتوحة.

الجدول (1) العلاقة بين تصريف النقاطات (l/hr) والضاغط (m) للنقاطات المدروسة

R^2	$q = f(H)$	النقاطة
0.988	$q = 2.608H^{0.747}$	NESTOS DRIP16L/HR
0.994	$q = 1.173H^{0.765}$	NESTOS DRIP,8L/HR
0.859	$q = -0.0003H^4 + 0.017H^3 - 0.354H^2 + 2.984H + 0.563$	ARAB DRIP - JORDAN
0.995	$q = 3.041H^{0.415}$	ALHADITHA 8L/HR,green
0.97	$q = 0.005H^3 - 0.215H^2 + 3.102H - 6.923$	TORO TURBO, 8L/HR
0.994	$q = 1.267H^{0.747}$	EURO-KEY
0.997	$q = 1.242H^{0.866}$	ALHADITHA 8L/HR, red
0.999	$q = 1.383H^{0.548}$	ABO HLAL JORIEH JR, 4L/hr
0.983	$q = 0.567H^{0.856}$	ALHADITHA JR, 4L/hr



الشكل (3) علاقة التصريف بالضاغط للنقاطة من نوع ARAB DRIP – JORDAN

ويلاحظ من الشكل (3) أن النقاطة من نوع ARAB DRIP – JORDAN تعطي تصريفاً مرتفعاً من أجل ضاغط منخفض وهذا يساعد على غسل النقاطة من المواد العالقة فيها، ومن أجل ضاغط يزيد على 16.5m يعطي تصريفاً نحو 8L/hr أي أن النقاطة من النوع المنظم للتصريف.

من دراسة القيم في الجدول (1) يتبين لنا أن علاقة التصريف مع الضاغط هي من النوع الأسّي للنقاطات المستخدمة جميعها باستثناء النقاطتين TORO TURBO, 8L/HR و ARAB DRIP – JORDAN فإن علاقة التصريف مع الضاغط هي كثير حدود من الدرجة الثالثة للأولى والرابعة للتانية ومن شكل المنحنى نستنتج أنها من النوع المنظم للتصريف بعد قيم معينة للضاغط، والشكل (2) يبين علاقة التصريف مع الضاغط للنقاطة من نوع ARAB DRIP – JORDAN والشكل (3) علاقة التصريف مع الضاغط للنقاطة من نوع TORO TURBO, 8L/HR والشكل (4) يعطي علاقة التصريف مع الضاغط للنقاطة من نوع EURO-KEY .

يعتمد الضياع على طريقة تركيب النقاطات على الأنبوب الجانبي أو ضمن الأنبوب أو بواسطة أنبوب فرعي أصغر يوصل مع أنبوب مظمور تحت سطح التربة. الطريقة العملية لأخذ الضياع الناجم عن تركيب النقاطات بالحسبان هي التعبير عنه كطول مكافئ (الطول الذي يؤدي إلى ضياع بالاحتكاك في الأنبوب يساوي الضياع الناتج عن النقاطات). وتقسم النقاطات تبعاً لقياس بروز تثبيت النقاطات إلى نقاطات قياسية وكبيرة وصغيرة وذلك كما في الجدول (2).

الجدول (2) تصنيف النقاطات تبعاً لقياس بروز

النقاطات [6،11،10]

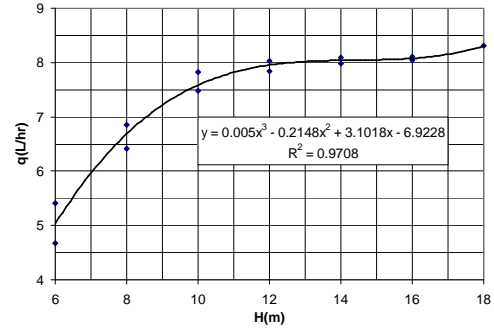
قياس بروز النقاطات	ارتفاع البروز (mm)	قطر البروز (mm)
كبير	5.0	7.5
قياسي	5.0	5.0
صغير	5.0	3.8

ولدراسة تأثير بروز تثبيت النقاطات المدروسة في الضياعات الهيدروليكية تم في البداية قياس أبعاد رؤوس تثبيت النقاطات المستخدمة من نوع (on-line)، وكانت نتائج القياس كما في الجدول (3).

الجدول (3) رسم النقاطات وأبعاد رؤوس تثبيتها على

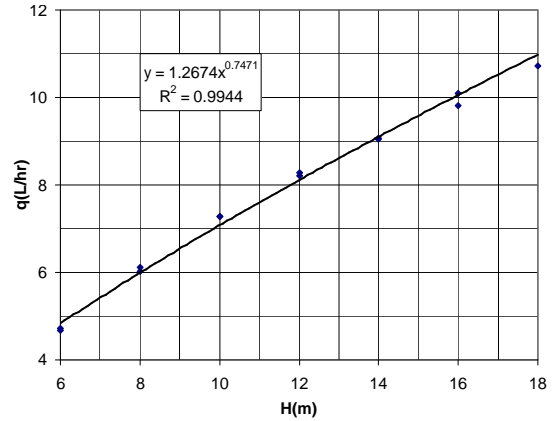
الأنابيب

مساحة رأس النقاطات (mm ²)	أبعاد رؤوس النقاطات (mm)		وسم النقاطات
	الارتفاع	القطر	
21.53	5.62	5.24	ARAB DRIP - JORDAN
21.90	4.76	5.28	TORO TURBO 8L/HR
22.20	4.67	5.32	EURO-KEY
23.49	5.73	5.47	NESTOS DRIP 16L/HR
24.95	5.63	5.64	NESTOS DRIP 8L/HR
25.95	5.77	5.75	ALHADITHA 8L/HR,gr
26.37	5.78	5.80	ALHADITHA 8L/HR,re



الشكل (4) العلاقة بين التصريف والضاغط للنقاطات من نوع TORO TURBO, 8L/HR

ويلاحظ من الشكل (4) أيضاً أن التصريف يتزايد مع الضاغط ثم يستقر عند الضاغط من 12m إلى 16m ليعطي تصريفاً نحو 8L/hr أي أن النقاطات هي من النوع المنظم للتصريف.



الشكل (5) العلاقة بين التصريف والضاغط للنقاطات من نوع EURO-KEY

ويبين الشكل (5) نموذجاً للنقاطات الأخرى التي فيها علاقة التصريف بالضاغط من النوع الأسّي، ويتراوح هذا الأس بالنسبة إلى النقاطات المدروسة بين 0.415 للنقاطات من نوع ALHADITHA 8L/HR, green إلى 0.866 للنقاطات ALHADITHA 8L/HR, red.

5 - تأثير بروز النقاطات في الضياع الهيدروليكي في الأنابيب الجانبية
يسبب وصل كل نقاطات ضياعاً إضافياً في الضاغط،

إلى الأنبوب الذي قطره 16mm، وبالنسبة إلى الأنبوب الذي قطره 18mm هو 9.63%، و إلى الأنبوب الذي قطره 22mm هو 7.81%.

الجدول (4) المواصفات الهندسية للأنابيب المستخدمة والتفطاح الأعظم

نقص المساحة (%)	مساحة المقطع الدائري (mm ²)	مساحة المقطع المفلطح (mm ²)	سماعة جدار الأنبوب (mm)	التفطاح mm	الأنبوب
8.86	144.47	131.67	1.099	1.87	ABOHILAL JR16
6.35	147.66	138.29	0.945	1.85	ALHADITHA JR16
6.12	139.04	130.53	1.626	2.27	DN16
9.63	184.18	166.44	1.577	4.56	DN18
7.81	226.93	209.21	1.435	2.44	DN22

إن النقاطات المدروسة هي من النوع القياسي أي ارتفاع البروز وقطره نحو (5mm). ولقياس الضياعات الهيدروليكية في الأنابيب المستخدمة كان لا بد من تحديد المواصفات الهندسية لهذه الأنابيب من حيث القطر، وسماعة جدران الأنابيب، والتفطاح (الفرق بين أكبر قطر وأصغره في مقطع الأنبوب)، والمساحة الفعلية للأنبوب نتيجة التفطاح، ونسبة التخفيض في المساحة الناتجة عن تفطاح الأنابيب نتيجة التصنيع على شكل لفات والتحميل والتخزين، لأخذها بالحسبان عند حساب السرعة الوسطية وكانت نتائج القياس كما بيّين الجدول (4).

بلغت نسبة النقص في المساحة نتيجة التفطاح 8.86% بالنسبة إلى الأنبوب ABOHILAL JR16 و 6.35% بالنسبة إلى الأنبوب ALHADITHA JR16 و 6.12%

الجدول (5) العلاقة بين التدرج الهيدروليكي ($\Delta h/L$) والسرعة (m/sec) من أجل أنبوب قطره 16mm دون النقاطات ومع النقاطات مرة مسدودة ومرة مفتوحة.

R ²	Dh/L=f(v)	الأنبوب والنقاطات	
0.938	0.126V ^{2.101}	الأنبوب دون نقاطات	
0.998	0.173V ^{1.749}	مسدودة	NESTOS DRIP16L/HR
0.999	0.152V ^{1.623}	مفتوحة	
0.994	0.191V ^{1.602}	مسدودة	NESTOS DRIP8L/HR
0.998	0.1713V ^{1.558}	مفتوحة	
0.999	0.187V ^{1.651}	مسدودة	ARAB DRIP - JORDAN
0.998	0.132V ^{1.828}	مفتوحة	
0.997	0.166V ^{1.778}	مسدودة	ALHADITHA 8L/HR, g
0.998	0.166V ^{1.779}	مفتوحة	
0.997	0.166V ^{1.722}	مسدودة	TORO TURBO 8L/HR
0.983	0.126V ^{1.896}	مفتوحة	
0.997	0.171V ^{1.689}	مسدودة	EURO-KEY
0.997	0.165V ^{1.626}	مفتوحة	
0.988	0.1533V ^{1.9}	مسدودة	ALHADITHA 8L/HR, r
0.989	0.179V ^{1.56}	مفتوحة	
0.998	0.166V ^{1.812}	مسدودة	ABO HILAL JORIEH JR4L/hr
0.999	0.146V ^{1.774}	مفتوحة	
0.998	0.155V ^{1.729}	مسدودة	Al haditha JR 4L/hr
0.992	0.123V ^{2.081}	مفتوحة	

الجدول (6) العلاقة بين التدرج الهيدروليكي ($\Delta h/L$) والسرعة (m/sec) من أجل أنبوب قطره 18mm دون النقاطات ومع النقاطات مرة مسدودة ومرة مفتوحة.

R ²	$\Delta h/L=f(v)$	الأنبوب والنقاطات	
0.994	$0.063V^{1.927}$	الأنبوب دون نقاطات	
0.999	$0.107V^{1.937}$	مسدودة	NESTOS DRIP16L/HR
0.997	$0.05V^{3.157}$	مفتوحة	
0.998	$0.104V^{1.926}$	مسدودة	NESTOS DRIP8L/HR
0.998	$0.080V^{2.435}$	مفتوحة	
0.997	$0.108V^{1.948}$	مسدودة	ARAB DRIP - JORDAN
0.980	$0.086V^{2.241}$	مفتوحة	
1.000	$0.102V^{2.009}$	مسدودة	ALHADITHA 8L/HR, g
0.997	$0.077V^{2.430}$	مفتوحة	
0.998	$0.101V^{2.005}$	مسدودة	TORO TURBO 8L/HR
0.999	$0.08V^{2.430}$	مفتوحة	
0.999	$0.10V^{1.947}$	مسدودة	EURO-KEY
0.998	$0.074V^{2.640}$	مفتوحة	
0.999	$0.106V^{1.997}$	مسدودة	ALHADITHA 8L/HR, r
0.999	$0.065V^{2.673}$	مفتوحة	

الجدول (7) العلاقة بين التدرج الهيدروليكي ($\Delta h/L$) والسرعة (m/sec) من أجل أنبوب قطره 22mm دون النقاطات ومع النقاطات مرة مسدودة ومرة مفتوحة.

R ²	$\Delta h/L=f(v)$	الأنبوب والنقاطات	
0.997	$0.0714V^{1.703}$	الأنبوب دون نقاطات	
0.993	$0.1007V^{1.811}$	مسدودة	NESTOS DRIP16L/HR
0.988	$0.037V^{2.913}$	مفتوحة	
0.999	$0.0939V^{1.966}$	مسدودة	NESTOS DRIP8L/HR
0.998	$0.0576V^{2.351}$	مفتوحة	
0.999	$0.0991V^{1.902}$	مسدودة	ARAB DRIP - JORDAN
0.998	$0.0659V^{1.926}$	مفتوحة	
0.998	$0.0952V^{1.919}$	مسدودة	ALHADITHA 8L/HR, g
0.991	$0.0571V^{2.185}$	مفتوحة	
0.999	$0.0834V^{2.096}$	مسدودة	TORO TURBO 8L/HR
0.998	$0.0571V^{2.308}$	مفتوحة	
0.990	$0.091V^{1.992}$	مسدودة	EURO-KEY
0.976	$0.0515V^{2.577}$	مفتوحة	
0.998	$0.1012V^{1.888}$	مسدودة	ALHADITHA 8L/HR, r
0.995	$0.0483V^{2.627}$	مفتوحة	

وبعد تحديد الضياعات الهيدروليكية في الأنابيب المدروسة من أجل مختلف الأنابيب والنقاطات وبتطبيق قيم مختلفة للسرعة تم إيجاد العلاقة بين التدرج الهيدروليكي ($\Delta h/L$) والسرعة في الأنبوب دون نقاطات ومن ثم مع نقاطات مسدودة وبعد ذلك مع نقاطات مفتوحة بالنسبة إلى مختلف النقاطات المدروسة. ويبين الجدول (5) هذه العلاقات بالنسبة إلى الأنبوب الذي قطره 16mm والجدول (6) إلى الأنبوب الذي قطره 18mm، والجدول (7) إلى الأنبوب الذي قطره 22mm، بالاستناد إلى العلاقات

تأثير النقاطات على الضياعات الهيدروليكية في أنابيب الري بالتنقيط

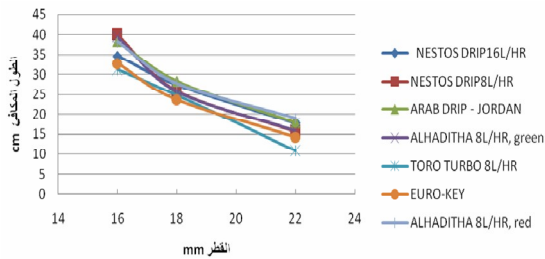
التي تم استنتاجها والواردة في الجداول (5-7) يمكن من أجل سرعة جريان مختلفة مع الإشارة إلى أن هذه الضياعات تتعلق بقطر الأنبوب ونوع النقاطات كما الفرق بين الضياعات الهيدروليكية في الأنابيب مع نقاطات مسدودة والضياعات في الأنابيب دون نقاطات

الجدول (8) الضياعات الناجمة عن تثبيت النقاطات كمعامل ضياع موضعي (K) وكطول مكافئ Le(Cm).

Le (Cm)	K	قطر الأنبوب (mm)	النقاطات
34.6	0.581	16	NESTOS DRIP16L/HR
27.46	0.325	18	
17.71	0.225	22	
39.99	0.672	16	NESTOS DRIP8L/HR
25.92	0.306	18	
15.66	0.198	22	
38.34	0.648	16	ARAB DRIP - JORDAN
28.42	0.335	18	
17.91	0.227	22	
39.38	0.656	16	ALHADITHA 8L/HR, green
25.85	0.305	18	
15.82	0.200	22	
31.17	0.524	16	TORO TURBO 8L/HR
24.82	0.293	18	
10.83	0.136	22	
32.75	0.551	16	EURO-KEY
23.68	0.280	18	
14.25	0.180	22	
28.20	0.474	16	ALHADITHA 8L/HR, red
27.84	0.329	18	
18.96	0.240	22	
23.91	0.413	16	ALHADITHA JR
32.42	0.542	16	ABO HILAL JURIEH JR

يلاحظ من الجدول (8) أن التعبير عن الضياعات كطول مكافئ نتيجة لتثبيت النقاطات يتناقص مع ازدياد قطر الأنبوب وبتراوح بالنسبة إلى النقاطات المختلفة من أجل الأنبوب ذي القطر الاسمي 16mm بين 28 و 40Cm وتراوح الطول المكافئ للضياع الناتج عن تركيب النقاطات على الأنبوب ذي القطر 18mm بين 23Cm و 29Cm وفي حالة الأنبوب ذي القطر 22mm تراوح بين 10Cm و 19Cm. وبالنسبة إلى أنابيب التنقيط من نوع ABOHILAL JURIEH JR16 فقد بلغ الطول المكافئ للضياع الناجم عن النقاطات 32.42Cm ومن نوع

وهكذا يبدو واضحاً أن الضياعات الناجمة عن بروزات تثبيت النقاطات تختلف من نقطة إلى أخرى وتبعاً لقطر الأنبوب كما يبين ذلك الشكل (6).



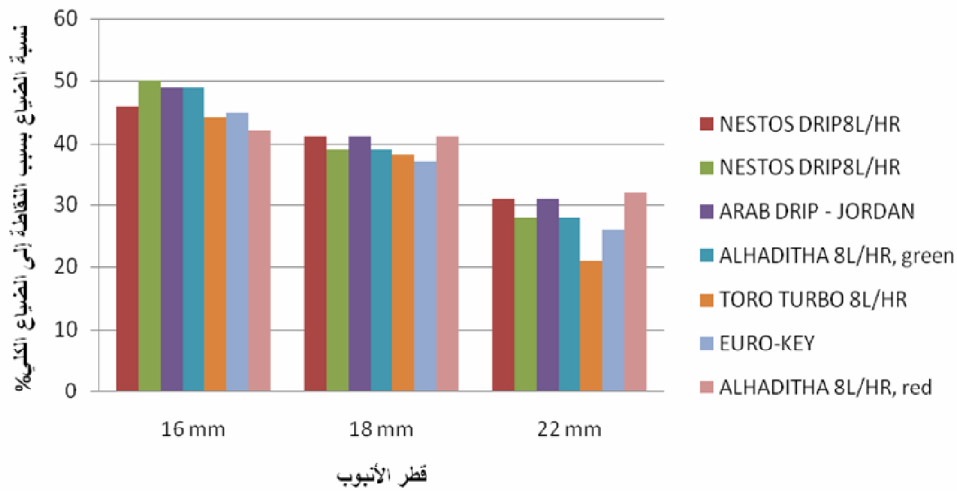
الشكل (6) الطول المكافئ تبعاً لنوع النقاطات وطول الأنبوب

تشكل الضياعات الناجمة عن تركيب النقاطات نسبة كبيرة من الضياعات الكلية تتراوح بين 21% و50% تبعاً لقطر الأنابيب والنقطة وذلك من أجل تباعدات صغيرة بين النقاطات مقدارها 40Cm كما في التجارب المنفذة، ويظهر ذلك بوضوح الجدول (9).

الجدول (9) نسبة الضياعات الناجمة عن النقاطات من الضياعات الكلية (%)

قطر الأنابيب (mm)			النقطة
22	18	16	
31	41	46	NESTOS DRIP16L/HR
28	39	50	NESTOS DRIP8L/HR
31	41	49	ARAB DRIP - JORDAN
28	39	49	ALHADITHA 8L/HR, green
21	38	44	TORO TURBO 8L/HR
26	37	45	EURO-KEY
32	41	42	ALHADITHA 8L/HR, red
-	-	37	ALHADITHA JR
-	-	45	ABO HILAL JURIEH JR

كما يبيّن الشكل (7) نسبة الضياعات الناجمة عن النقاطات من الضياعات الكلية تبعاً لقطر الأنابيب والنقطة المستخدمة.



الشكل (7) نسبة الضياعات الناجمة عن النقاطات من الضياعات الكلية تبعاً للقطر والنقطة

خلال كاتلوكات التصنيع. ويلزم التحقق من مطابقة مواصفات النقاطات لما هو وارد في كاتلوك المصنع وكذلك التأكد من تحقيقها للمواصفات القياسية المحلية والدولية، لدى جهات علمية موثوق بها.

إن تحديد الضياعات الناجمة عن تركيب النقاطات مهمة في عمليات تصميم شبكات الري بالتنقيط. ويجب على المصنعين للنقاطات توفير معلومات عن النقاطات تشمل المنحنيات المميزة ومعامل التغير المصنعي والضياعات الناجمة عن تثبيت النقاطات على الأنابيب المختلفة من

6 - النتائج:

بالنسبة إلى النقاطات المدروسة بين 0.415 و0.866، باستثناء النقطة ARAB DRIP وJORDAN والنقطة TORO TURBO فإنه من منحنى العلاقة بين التصريف والضاغط نلاحظ أنها علاقة كثير حدود وأنها تنظم التصريف بعد قيمة معينة للضاغط.

3- إن قيم الضياعات الناجمة عن تركيب النقاطات يختلف بين نقاطة وأخرى ويتعلق بقطر الأنبوب المثبتة عليه، وقد بلغ الطول المكافئ للضياع الناتج عن تركيب النقطة بين 28 و 40Cm للأنبوب الذي قطره الاسمي 16mm، وبين 23Cm و 29Cm للأنبوب الذي قطره الاسمي 18mm وبين 10Cm و 19Cm للأنبوب الذي قطره الاسمي 22mm.

4- إن نسبة الضياعات الناجمة عن تركيب النقاطات إلى الضياعات الكلية التي تثبت على تباعدات صغيرة كما في التجارب المنفذة تشكل نسبة لا يستهان بها، وتتعلق بالسرعة في الأنبوب والنقطة وقطر الأنبوب وتراوحت هذه النسبة للنقاطات المدروسة من أجل سرعة بين 1.0m/sec و 1.5m/sec بين 21% و 32% إلى الأنبوب الذي قطره 22mm وبين 37% و 41% بالنسبة إلى الأنبوب الذي قطره 18mm. أما بالنسبة إلى الأنبوب الذي قطره 16mm فقد تراوحت النسبة بين 37% و 50%.

درُسَ في هذا البحث سبعة أنواع من النقاطات، من الصنف الذي يثبت على جدار الأنبوب (on-line) محلية الصنع ومستوردة، ونقاطتان محليتا الصنع من نوع JR التي تثبت ضمن أنبوب التنقيط (in-line). وأستخدم ثلاثة أنواع من الأنابيب فضلاً عن أنابيب تنقيط JR لدراسة الضياعات الموضعية الناجمة عن تركيب النقاطات على هذه الأنابيب. يقدم البحث أسلوباً وطريقةً جديدةً لتحديد الضياعات الناجمة عن تركيب النقاطات على الأنابيب وضمنها وذلك من أجل سرعة الجريان المختلفة. ويمكن تلخيص أهم النتائج التي تم التوصل إليها في هذا البحث بالآتي:

1- إن الأنابيب البلاستيكية المرنة من نوع PE تُصنع على شكل لفات هي عرضة للتلف. مما يؤدي إلى تغير شكل مقطع الأنبوب من الدائري إلى الإهليلجي، ومن ثمَّ نقص في مساحة المقطع الدائري المفترض. وقد وصلت نسبة النقص في مساحة المقطع نتيجة التلف للأنابيب المدروسة 6.12% للأنبوب الذي قطره 16mm وللأنبوب 18mm إلى 9.63% وللأنبوب 22mm إلى 7.81% وللأنبوب الحديثة JR 6.35%، وللأنبوب أبو هلال JR 8.86%، وهذا يؤثر في قيم السرعات ومن ثمَّ الضياعات الهيدروليكية فيها الأمر الذي يجب أخذه بالحسبان عند دراسة الأنابيب في شبكات الري بالتنقيط إذ يتبع التلف لطريقة التخزين والنقل ولصنف البولي إيثيلين وجودة تصنيعه من قبل الشركات المختلفة.

2- إن تحديد المنحنيات المميزة وعلى الأخص الأس (علاقة التصريف مع الضاغط) لها أهمية في تحديد الضياعات المسموحة في الأنبوب الجانبي الحامل للنقاطات. وقد بلغت قيمة هذا الأس

- 7- BOMAN B., SHUKLA S., 2004- **Hydraulic Considerations for Citrus Microirrigation Systems**, < http://edis.ifas.ufl.edu.> 31/1/2005
- 8- Burt, C. M. , S. W. Styles, 1999- **Drip Micro Irrigation for Trees, Vines, and Row Crops**. San Luis Obispo, CA: Irrigation Training and Research Center, California Polytechnic State University.
- 9- HUNTER IRRIGATION, 1997- **Irrigation Hydraulics Student Manual**. Hunter Industries, Inc. San Marcon, CA.
- 10- JAMES G.L., 1988- **Principles of Farm Irrigation System Design**, Washington state University, John Wiley & Sons, 541P.
- 11- KELLER,J., BLIESNER, R. D.,1990- **Sprinkler and Tricle Irrigation**, Van Nostrand Reinhold United State of America, 643P.
- 12- PEKUS, R., 2003- **Calculation of Hydraulic Losses in Plastic Pressure Pipes**, Journal of Environmental Engineering Vol XI, No 3.
- 13- PROCHAL, P., 1986 – **Podstawy Melioracji Rolnych** t.1, PWRiL, Warszawa,641p.
- 7 - **المراجع**
- 1 - سكلأ؛ شارل شكري، 1991- **هندسة الري والصرف**. دار المعارف مصر 465ص
- 2 سليمان؛ أمين، الجودي؛ حسان، حمدان؛ ياسر، 2000- **الري والصرف لغير المختصين**. مديرية الكتب والمطبوعات جامعة البعث 313.
- 3 - الطيف؛ نبيل إبراهيم، الحضيبي؛ عصام خضير، 1988 - **الري أساسياته وتطبيقاته**. بغداد 435 ص.
- 4 - العامود؛ أحمد إبراهيم، 1992- **نظم الري بالتنقيط**. جامعة الملك سعود كلية الزراعة، 337.
- 5 - الفتياي؛ فاروق عبد الله، أبو رحيم؛ محمد أحمد، مغازي حسام؛ محمد أحمد، السيد حسن؛ عبد الله، جبران؛ عاطف عبد الحكيم، 2004 - **شبكات الري والصرف التخطيط والتصميم الهندسي**. نور الإسلام للطباعة - الإسكندرية مصر 403 ص.
- 6- AMIR, I., 1991- **Sprinkle and Trickle Irrigation**, IHEE DELFT Netherlands, 114P.